

# 水平井注入能力评价模型及应用

张英芝<sup>1,2</sup>, 朱大伟<sup>3</sup>, 田文博<sup>3</sup>, 冯 骋<sup>3</sup>, 高天放<sup>3</sup>

1. 中国石油大学(北京)石油工程学院, 北京 100029
2. 大庆油田有限责任公司, 黑龙江大庆 163712
3. 中国科学院渗流流体力学研究所, 河北廊坊 065007

**摘要** 随着水平井开采技术和低渗透油气田开发理论的发展, 利用水平井开发低渗透油气田是提高低渗透油气田采收率的重要手段。然而, 在过去的研究里, 水平井主要是作为生产井, 水平井作为注水井的研究尚少。水平井注水开发技术为低渗透油藏的合理开发提供了新思路。本文利用叠加原理, 建立了分段射孔水平井三维注入能力的评价模型, 分析了当量半径与实际射孔段长度和水平井所处的位置的关系, 讨论了水平井流量的分布, 研究了水平井在注水开发中的压力分布, 并将上述理论研究应用于大庆榆树林油田。研究表明, 该模型对于低渗透油藏中的水平井注水技术具有重要的指导意义, 具有一定的推广价值。

**关键词** 分段射孔水平井; 注入能力; 流量分布; 压力分布

中图分类号 TE348

文献标志码 A

doi 10.3981/j.issn.1000-7857.2013.03.007

## Model of Injection Capacity Evaluation for the Horizontal Well and Its Applications

ZHANG Yingzhi<sup>1,2</sup>, ZHU Dawei<sup>3</sup>, TIAN Wenbo<sup>3</sup>, FENG Cheng<sup>3</sup>, GAO Tianfang<sup>3</sup>

1. School of Petroleum Engineering, China University of Petroleum, Beijing 100029, China
2. Daqing Oilfield Limited Company, Daqing 163712, Heilongjiang Province, China
3. Institute of Porous Flow and Fluid Mechanics, Chinese Academy of Science, Langfang 065007, Hebei Province, China

**Abstract** With the rapid development of horizontal well technology and the theory of low permeability reservoir exploration, applying the horizontal well to explore low permeability reservoir is an important measure for improving the recovery efficiency of the low permeability reservoir. However, in the previous research, horizontal well is regarded as the production well. Thus the research on the horizontal well as an injection well is rare. Consequently, the water injection technology of the horizontal well provides a new idea for the reasonable exploration of the low permeability reservoir. Considering the current research situation, a 3D model about the injection capacity evaluation of selective perforation horizontal well is established based on the principle of superposition. The relationship between equivalent radius and perforation length as well as the location of the horizontal well is analyzed; the distribution of the flow and pressure for the horizontal well is discussed based on the established model. All the foregoing theoretical research is applied to the Yushulin Block of Daqing Oilfield and the result indicates that due to its accuracy and reliability, the established model has the important significance of guidance and popularization value for the horizontal well injection exploration of the low permeability reservoir.

**Keywords** selectively perforation horizontal well; the injection capacity; flow distribution of flow; pressure distribution of pressure

### 0 引言

随着油气勘探技术的发展, 目前新探明的特/超低渗透原油储量越来越多, 但同时其储层渗透率也越来越低, 黏土含量较高, 导致注水比较困难, 地层能量补充不足, 从而影响其

开发效果<sup>[1-4]</sup>。近年来, 随着水平井技术的飞速发展, 水平井应用到低渗透油藏中的比例也逐年提高, 但大多数是生产井, 很少为注水井<sup>[5-7]</sup>。榆树林油田作为低渗透油田, 在注水开发中注水压力越来越高, 注水越来越困难。为了解决注水困难

收稿日期: 2012-10-25; 修回日期: 2012-11-22

基金项目: 国家科技重大专项(2011ZX05013-006); 中石油重大攻关课题(2011B-1203)

作者简介: 张英芝, 博士后, 研究方向为主低渗透油气田开发, 电子信箱: zhangyingzhi99@sina.com

而导致地层能量补充不足的问题,于2007年开始进行水平井注水开发试验。结果表明,水平井注水技术取得了很好的开发效果。其注入效果具体表现为:(1)水平井注入能力明显高于同区块直井,周围油井产量大幅度提高;(2)水平井注水后,周围油井地层压力明显回升<sup>[8-10]</sup>。

目前,水平井作为注水井的注入能力评价模型研究尚少,本文利用压力叠加原理,建立水平井的注入能力评价模型,分析了当量井径与实际射孔段长度和水平井所处的位置的关系,讨论了水平井流量的分布,研究了水平井在注水开发中的压力分布,将其应用于大庆榆林低渗透油田。

### 1 水平井三维注入模型

#### 1.1 建模思想

在地层发生拟稳态 Darcy 渗流的条件下,将水平井抽象为无限导流线汇,根据叠加原理可知,点汇的积分能够得到线汇的结果,所以首先求得点汇条件下问题的解,然后进行叠加积分便可得到问题的解。定义无量纲量:

$$P_D = \frac{K_h(P-P_0)}{1.842 \times 10^{-3} q B \mu}, L_D = \frac{L}{h\beta}, \beta = \sqrt{\frac{K_h}{K_v}},$$

$$z_D = \frac{z}{h}, x_D = \frac{x}{L}, y_D = \frac{y}{L}, r_D = \frac{r}{L}, z_{wD} = \frac{z_w}{h}, \varepsilon_D = \frac{\varepsilon}{h}$$

其中,  $P_0$  为原始地层压力,  $10^7$ MPa;  $P$  为地层压力,  $10^7$ MPa;  $q$  为流量,  $\text{cm}^3/\text{s}$ ;  $K_v, K_h$  为纵向、水平渗透率,  $\mu\text{m}^2$ ;  $B$  为体积系数;  $h$  为油层厚度,  $\text{m}$ ;  $\mu$  为原油黏度,  $\text{mPa}\cdot\text{s}$ ;  $L$  为水平井半长,  $\text{m}$ ;  $z_w$  为水平井垂向位置坐标,  $\text{m}$ ;  $r$  为水平井井径,  $\text{m}$ ;  $\varepsilon$  为垂直长度,  $\text{m}$ ;  $z_D, x_D, y_D, r_D, z_{wD}, \varepsilon_D$  为水平井尺度无量纲参数;  $P_D$  为无量纲压力;  $L_D$  为无量纲长度;  $\beta$  为无量纲渗透率比。

通过无量纲量可以写出水平井三维渗流无量纲控制方程组。

#### 1.2 控制方程组

在初始条件均匀的条件下,三维空间中点汇拟稳态渗流无量纲控制方程为

$$\frac{1}{r_D} \frac{\partial}{\partial r_D} \left( r_D \frac{\partial \tilde{P}_D}{\partial r_D} \right) + L_D^2 \frac{\partial^2 \tilde{P}_D}{\partial z_D^2} = u \left[ h_D L_D / \sqrt{C_D} \right]^2 \tilde{P}_D \quad (1)$$

垂向上下界面封闭条件

$$\frac{\partial \tilde{P}_D}{\partial z_D} = 0, \quad z_D = 0, \quad \frac{\partial \tilde{P}_D(r_D, 1)}{\partial z_D} = 0 \quad (2)$$

平面外边界封闭定压条件

$$\frac{\partial \tilde{P}_D(r_{eD}, z_D)}{\partial r_D} = 0 \quad (3)$$

内边界条件

$$\lim_{\varepsilon_D \rightarrow 0, r_D \rightarrow \varepsilon_D} \left[ r_D \frac{\partial \tilde{P}_D}{\partial r_D} \right] = \begin{cases} 0, & |z_D - z_{wD}| > \varepsilon_D / 2 \\ -1/\varepsilon_D, & |z_D - z_{wD}| \leq \varepsilon_D / 2 \end{cases} \quad (4)$$

其中,  $r_{eD}$  为无量纲供给半径。式(4)表示了无量纲垂向长度为  $\varepsilon_D$  的线汇,求解后令  $\varepsilon_D \rightarrow 0$  得到点汇问题的解。

#### 1.3 求解方法

根据控制方程组的特点,采用有限 Fourier 余弦积分变换

可方便地获得问题的解。定义有限 Fourier 余弦积分变换为对

$$\bar{P}_D(r_D) = \int_0^1 P_D(r_D, z_D) \cdot \cos(u, z_D) dz_D \quad (5)$$

$$P_D(r_D, z_D) = \sum_n \frac{\cos(u, z_D) \bar{P}_D(u_n)}{N(n)} \quad (6)$$

其中,  $u_n$  为傅里叶变换的基函数。控制方程组变的通解为

$$\bar{P}_{D1}(r_D) = C_1 I_0(r_D \varepsilon_n) + C_2 K_0(r_D \varepsilon_n),$$

$$\frac{d\bar{P}_{D1}(r_D)}{dr_D} = \varepsilon_n [C_1 I_1(r_D \varepsilon_n) - C_2 K_1(r_D \varepsilon_n)] \quad (7)$$

根据内、外边界条件确定常数后,方程的特解为

$$\bar{P}_{D1}(r_D) = \left[ K_0(r_D \varepsilon_n) + \frac{K_1(r_{eD} \varepsilon_n)}{I_1(r_{eD} \varepsilon_n)} I_0(r_D \varepsilon_n) \right] \cos(u, z_{wD}) \quad (8)$$

$$\bar{P}_D = \bar{P}_{D1} - \frac{2}{\varepsilon_n^2 r_{eD}^2} = \left[ K_0(r_D \varepsilon_n) + \frac{K_1(r_{eD} \varepsilon_n)}{I_1(r_{eD} \varepsilon_n)} I_0(r_D \varepsilon_n) \right] \cdot \cos(u, z_{wD}) - \frac{2}{\varepsilon_n^2 r_{eD}^2} \quad (9)$$

进行 Fourier 反变换(注意到 0 是特征根)

$$P_D(r_D, z_D) = \frac{\cos(u, z_D)}{N(0)} \bar{P}_D(r_D) + \sum_{n=1}^{\infty} \frac{\cos(u, z_D) \bar{P}_D(u_n)}{N(n)} \quad (10)$$

得到水平井拟稳态压力分布

$$P_D(r_D, z_D) = \frac{1}{2} \int_{-1}^{+1} \ln \frac{r_{eD}}{\sqrt{(x_D - \alpha)^2 + y_D^2}} d\alpha - \frac{1}{2} + \sum_{n=1}^{\infty} \left[ \int_{-1}^{+1} K_0(\varepsilon_n \sqrt{(x_D - \alpha)^2 + y_D^2}) d\alpha + \frac{K_1(\varepsilon_n r_{eD})}{I_1(\varepsilon_n r_{eD})} \int_{-1}^{+1} I_0(\varepsilon_n \sqrt{(x_D - \alpha)^2 + y_D^2}) d\alpha \right] \cos(u, z_{wD}) \cdot \cos(u, z_D) \quad (11)$$

其中,  $\alpha$  为点汇位置坐标。

而水平井筒压力分布

$$P_{wD}(x_D, z_D) = \frac{1}{2} \int_{-1}^{+1} \ln \frac{r_{eD}}{\sqrt{(x_D - \alpha)^2}} d\alpha - \frac{1}{2} + \sum_{n=1}^{\infty} \left[ \int_{-1}^{+1} K_0(\varepsilon_n \sqrt{(x_D - \alpha)^2}) d\alpha + \frac{K_1(\varepsilon_n r_{eD})}{I_1(\varepsilon_n r_{eD})} \int_{-1}^{+1} I_0(\varepsilon_n \sqrt{(x_D - \alpha)^2}) d\alpha \right] \cdot \cos(u, z_{wD}) \cos(u, z_D) \quad (12)$$

再沿水平井长方向进行积分平均,成均匀流量水平井

$$P_{wD}(z_D) = \frac{1}{4} \int_{-1}^{+1} \int_{-1}^{+1} \ln \frac{r_{eD}}{\sqrt{(x_D - \alpha)^2}} d\alpha dx_D - \frac{1}{2} + \sum_{n=1}^{\infty} \left[ \int_{-1}^{+1} \int_{-1}^{+1} K_0(\varepsilon_n \sqrt{(x_D - \alpha)^2}) d\alpha dx_D + \frac{K_1(\varepsilon_n r_{eD})}{I_1(\varepsilon_n r_{eD})} \frac{1}{2} \int_{-1}^{+1} \int_{-1}^{+1} I_0(\varepsilon_n \sqrt{(x_D - \alpha)^2}) d\alpha dx_D \right] \cdot \cos(u, z_{wD}) \cos(u, z_D) \quad (13)$$

根据特殊函数的渐近性质以及对无穷函数级数和的结果,当  $L_D > 2$  时,对于井壁压力 ( $y_D = y_{wD}, z_D = z_{wD} + r_{wD} L_D$ ),有如

下渐近公式:

$$P_{wd} \approx \ln \frac{r_{eD}}{2} + 1 - \frac{1}{2L_D} \ln(2\pi r_{wd} L_D \sin \pi z_{wd}) - \frac{1}{2L_D^2} \left[ -z_{wd} + z_{wd}^2 + \frac{1}{3} \right] \quad (14)$$

根据无量纲压力定义,知水平井流量公式为

$$q_{H_{ps}} = \frac{k_h h (P_i - P_{avg})}{1.842 \times 10^{-3} \mu B \left[ \ln \frac{r_{ewD}}{2} + 1 - \frac{1}{2L_D} \ln(2\pi r_{wd} L_D \sin \pi z_{wd}) - \frac{1}{2L_D^2} \left( \frac{1}{3} - z_{wd} + z_{wd}^2 \right) \right]} \quad (15)$$

再进一步有量纲化,整理可得到产量公式(SI制)

$$q_{H_{ps}} = \frac{k_h h (P_{avg} - P_{wf})}{1.842 \times 10^{-3} \mu B F_{H_{ps}}}, L_D = \frac{L}{h\beta} \geq \frac{1.8}{\pi} \quad (16)$$

$$F_{H_{ps}} = \ln \left( \frac{r_e}{2L} \right) + 1 - \frac{h\beta}{2L} \ln \left[ \frac{\pi r_w}{h} \left( 1 + \frac{1}{\beta} \right) \sin \frac{\pi z_w}{h} \right] - \frac{h^2 \beta^2}{2L^2} \left( \frac{1}{3} - \frac{z_w}{h} + \frac{z_w^2}{h^2} \right) \quad (17)$$

其中,  $P_{avg}$  为平均地层压力,  $10^4$ MPa。

#### 1.4 当量井径模型

为了便于分析和应用,在 Darcy 渗流的条件下将水平井流量公式与普通完善直井流量公式对比,当流量相等时得到的等效井筒半径叫做水平井的当量井径。

求解平面拟稳态 Darcy 渗流的结果可知,直井拟稳态产能公式为

$$q_{V_{ps}} = \frac{K_f h (P_{avg} - P_{wf})}{1.842 \times 10^{-3} \mu B (\ln r_e / r_w - 3/4)} \quad (18)$$

令  $q_{H_{ps}} = q_{V_{ps}}$ , 可得到当量井径计算公式

$$\frac{r_{ew}}{L} = 2 \exp \left\{ \frac{h\beta}{2L} \ln \left[ \frac{\pi r_w}{h} \left( 1 + \frac{1}{\beta} \right) \sin \frac{\pi z_w}{h} \right] + \frac{h^2 \beta^2}{2L^2} \left( \frac{1}{3} - \frac{z_w}{h} + \frac{z_w^2}{h^2} \right) - 1.75 \right\} \quad (19)$$

当量井径模型包括了地层厚度、井筒半长、井垂向位置以及地层各向异性等参数的影响,若当量井径大则水平井产量高。

## 2 油田应用

将上面的研究成果应用于大庆榆树林油田东 141 水平井注水井区,2 口注水水平井的井位分布见图 1。该井区主要油层为杨 17,该层发育稳定,有效厚度较大,并呈现中间厚、周围减薄的趋势。平均有效厚度为 6.3m,孔隙度为 11.8%,空气渗透率为  $1.4 \times 10^{-3} \mu m^2$ ,砂体的宽度为 800~1500m。

### 2.1 分段射开水平井的当量井径

以树 36-平 27 的实际水平井数据为例计算当量井径。水平井树 36-平 27 实际完钻井深 2669.49m,砂岩钻遇率 100%,其中造斜段和水平段总计 873.77m,造斜段 415.15m,水平段 458.62m。为防止泥岩蠕变,起始段油顶以下留 5.8m 未射。根

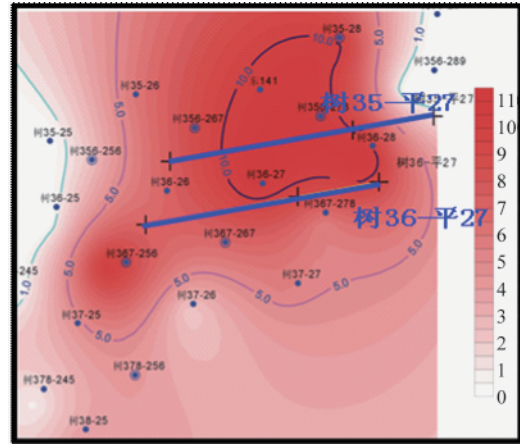


图 1 榆树林油田 2 口注水水平井位示意图

Fig. 1 Locations of two injection horizontal wells in Yushulin Block

据随钻测井及录井资料确定水平段物性变化,同时考虑水平段与周边直井距离及后续酸化、压裂卡分隔器的需要确定了六段射孔段,总计射孔长度 182.8m,每两段间隔长度分别为 14.0、114.2、63.0、40、41m,井底留 40m 口袋未射。  $K=1.4 \times 10^{-3} \mu m^2, h=6.3m$ ,求得其当量井径如图 2 所示。从图 2 中可以看出,当量井径与实际射孔段长呈现明显的相关性,实际射孔段越长则当量井径也越大。

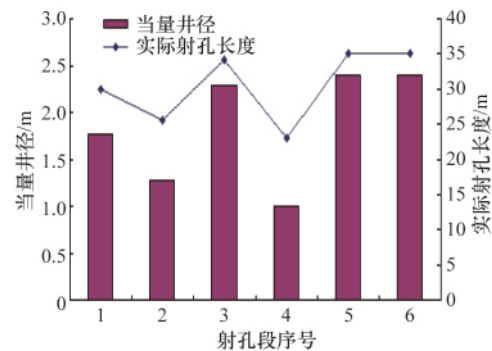


图 2 当量井径与实际射孔长度关系

Fig. 2 Relationship between equivalent radius and perforation length

水平井所处的位置也对当量井径带来较大差异。考虑油层厚度为 10m,一口射孔长度为 100m 的水平井,计算不同的水平井位置对当量井径的影响,计算结果见图 3。研究表明:偏心的水平井当量井径变小,水平井产量变小,而处于垂向中心位置的水平井当量井径最大。

### 2.2 分段射开水平井注入动态分析

显然,通过该模型可以在注入能力分析中把 1 口均匀流量水平井等效为 1 口普通直井。多个射孔段同时注水时,任意一点的压力分布可以采用压降叠加原理(图 4)实现,通过建立线性方程组,采用高斯消元法求得各射孔段的流量分布。

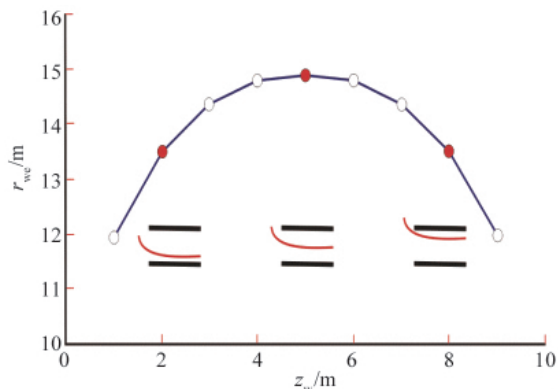


图3 水平井位置对当量井径的影像图  
Fig. 3 Influence of well location on equivalent radius

通过计算可以得到各射孔段的当量井径,运用高斯消元法求解得到各射孔段流量(取井口日注 70m<sup>3</sup> 计算),数据如表 1 所示。将每个射孔段的流量与总注入量的比做成流量百分比,如图 5 所示。

从图 5 可以看出,流量的分布并不与射孔长度呈明显正

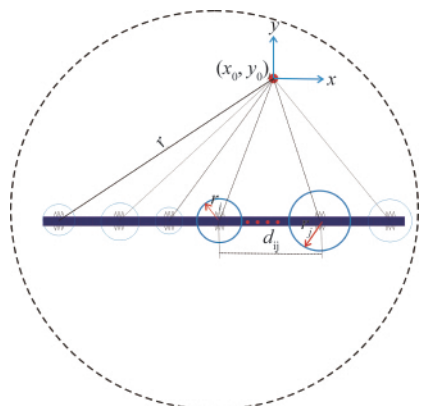


图4 多井压降叠加示意图(俯视图)  
Fig. 4 Schema of the pressure drop superposition for multiple wells(top view)

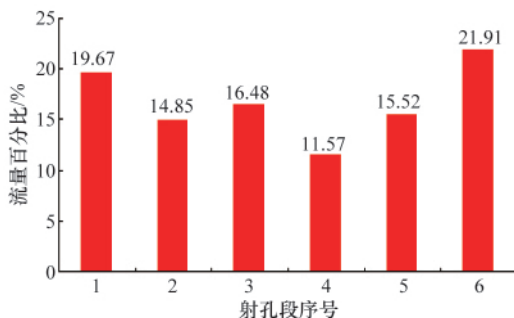


图5 树 36-平 27 井各射孔段流量分配  
Fig. 5 Flow distributions in the perforation sections of Shu36-P27 well

比关系,流量分布总体趋势是中部流量较低,而水平井的两

表 1 各射孔段流量分配数据  
Table 1 Flow distribution data of each perforation section

| 射孔长度/m                                | 30.0  | 25.6  | 34.2  | 23.0 | 40.0  | 40.0  |
|---------------------------------------|-------|-------|-------|------|-------|-------|
| 当量井径/m                                | 1.46  | 1.03  | 1.92  | 0.80 | 2.02  | 2.02  |
| 流量/(m <sup>3</sup> ·d <sup>-1</sup> ) | 13.67 | 10.42 | 11.57 | 8.15 | 10.95 | 15.23 |

端流量相对较大。

### 2.3 分段射孔水平井压力分布规律

通过压降叠加原理可以解决一个渗流系统中多口井同时工作的渗流问题,同样的道理运用这个原理也可以解决分段射孔水平井的渗流问题。

采用压降叠加原理可以绘制出等压降线如图 6 所示。从图中可以看出靠近水平注入井附近的等压降线为一个近似的椭圆形,且此区域压降速度最大;随着远离水平井,压降速度越来越小,等压降曲线的形状越来越接近于圆形,由此可以推断远离水平井的流体在地层中发生径向渗流。

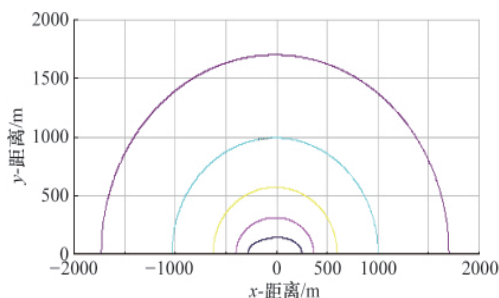


图6 树 36-平 27 井周边区域压力场分布  
Fig. 6 Pressure field distribution nearby Shu36-P27 well

由于靠近水平井的压降速度最大,水平注水井注入流体时大部分的压降都发生靠近水平井的附近(对于低渗透油藏尤其是如此)。取水平井注入压力(43~45MPa)和地层原始平均压力(22.13MPa),可以得出注入水平井的波及图(图 7)。

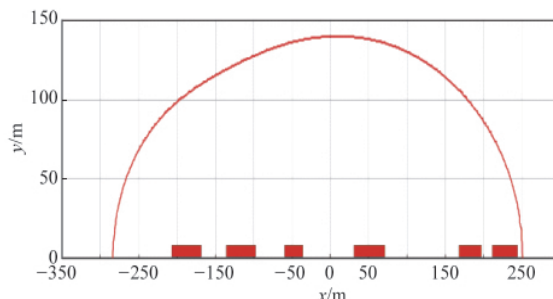


图7 树 36-平 27 井波及图  
Fig. 7 Sweep region of Shu36-P27 well

从图 7 可以看出,当水平井注水时,在距离水平井 150m 的地方,压力接近地层原始压力,压力降落主要发生在近井

筒附近。水平井注水时所能形成的有效驱替区域为一个近椭圆形泄流区。

### 3 结论

通过上面的研究和分析,可以得到以下结论。

(1) 利用叠加原理,建立了在拟稳态 Darcy 渗流条件下的分段射孔水平井三维注入能力评价模型,并成功地应用于榆树林油田。

(2) 分析了当量井径与实际射孔段长度和水平井所处的位置的关系。研究表明:当量井径与实际射孔段长呈现明显的相关性,实际射孔段越长则当量井径也越大。偏心的水平井当量井径变小,水平井产量变小,而处于垂向中心位置的水平井当量井径最大。

(3) 通过对分段射开水平井注入动态的分析表明,水平井流量的分布并不与射孔长度成明显正比关系,流量分布总体趋势是中部流量较低,而水平井的两端流量相对较大。

(4) 从分段射孔水平井压力分布来看,靠近水平注入井附近的等压降线为一个近似的椭圆形,且此区域压降速度最大;随着远离水平井,压降速度越来越小,等压降曲线的形状越来越接近于圆形,由此可以推断远离水平井的流体在地层中发生径向渗流。对于榆树林油田的树 36-平 27 井来说,当水平井注水时,在距离水平井 150m 的地方,压力接近地层原始压力,压力降落主要发生在近井筒附近。水平井注水时所能形成的有效驱替区域为一个近椭圆形泄流区。

### 参考文献 (References)

[1] 胡文瑞. 低渗透油气田概论[M]. 北京:石油工业出版社, 2009.

Hu Wenrui. Theory of low-permeability reservoir [M]. Beijing: Petroleum

Industry Press, 2009.

[2] Joshi S D. A review of horizontal well and drain hole technology[C]. SPE Annual Technical Conference and Exhibition, Dallas, Texas, September 27-30, 1987.

[3] 熊友明, 潘迎德. 各种射孔系列完井方式下水平井产能预测研究[J]. 西南石油学院学报, 1996, 18(2): 56-62

Xiong Youming, Pan Yingde. Journal of Southwestern Petroleum Institute, 1996, 18(2): 56-62.

[4] 刘月田, 张吉昌. 各向异性油藏水平井网稳定渗流与产能分析 [J]. 石油勘探与开发, 2004, 31(1): 94-96.

Liu Yuetian, Zhang Jichang. Petroleum Exploration and Development, 2004, 31(1): 94-96.

[5] 王晓冬, 于国栋, 李治平. 复杂分支水平井产能研究[J]. 石油勘探与开发, 2006, 33(6): 729-733.

Wang Xiaodong, Yu Guodong, Li Zhiping. Petroleum Exploration and Development, 2006, 33(6): 729-733.

[6] Li H J, Jia Z Q, Wei Z S. A new method to predict performance of fractured horizontal wells[C]. International Conference on Horizontal Well Technology, Calgary, Alberta, Canada, November 18-20, 1996.

[7] Guo G L, Evans R D. Inflow performance and production forecasting of horizontal wells with multiple hydraulic fractures in low permeability reservoirs [C]. SPE Gas Technology Symposium, Calgary, Alberta, Canada, June 28-30, 1993.

[8] Retnanto A, Economides M J. Performance of multiple horizontal well laterals in low-to-medium permeability reservoirs [J]. SPE Reservoir Engineering, 1996, 11(2): 73-78.

[9] 凌宗发, 胡永乐, 李保柱, 等. 水平井注采井网优化 [J]. 石油勘探与开发, 2007, 34(1): 65-66.

Ling Zongfa, Hu Yongle, Li Baozhu, et al. Petroleum Exploration and Development, 2007, 34(1): 65-66.

[10] Mostafa, I. Evaluation of water and gas pattern flooding using horizontal wells in tight carbonate reservoirs [C]. Middle East Oil Show, Bahrain, April 3-6, 1993.

(责任编辑 刘志远)

### · 科学共同体介绍 ·

## 中国中文信息学会

中国中文信息学会 (Chinese Information Processing Society of China) 成立于 1981 年 6 月。钱伟长、甄健民、安其春等为主要发起人。

中国中文信息学会是依法成立并经中国科学技术协会接纳的科学技术工作者的学术性群众团体,是具有独立社团法人资格的国家一级学会。学会的宗旨是提倡辩证唯物主义,坚持实事求是的科学态度,贯彻“百花齐放、百家争鸣”的方针,充分发扬民主,开展学术上的自由讨论。团结中文信息处理学科的广大科

技工作者及海外学术界朋友,为促进学科发展、繁荣我国中文信息处理事业而努力。

中国中文信息学会的学术研究内容是利用计算机对汉语的音、形、义等语言文字信息进行的加工和操作,包括对字、词、短语、句、篇章的输入、输出、识别、转换、压缩、存储、检索、分析、理解和生成等方面的处理技术。中文信息处理学科是在语言文字学、计算机应用技术、人工智能、认知心理学和数学等相关学科的基础上形成的一门新兴的边缘学科。

学会把开展国内外学术交流作为中心工作,并开展技术咨询服务,办好学会刊物,编辑出版学术书刊等。中国中文信息学会和挂靠单位中国科学院软件研究所联合主办的学术刊物是《中文信息学报》。

2011 年 12 月,中国中文信息学会在北京召开第七届全国代表大会暨学会成立 30 周年学术会议,产生学会第七届理事会,李生当选为理事长,孙乐当选为秘书长。

(责任编辑 秦政)